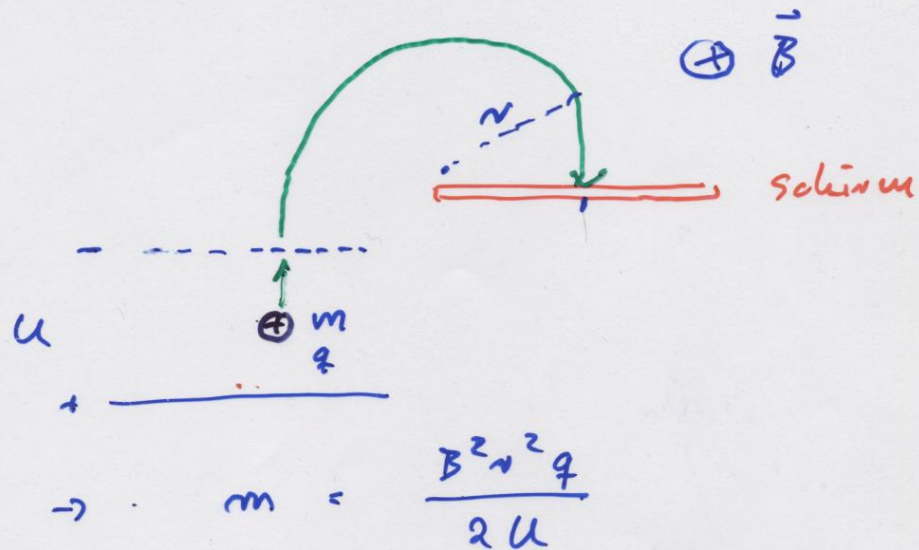


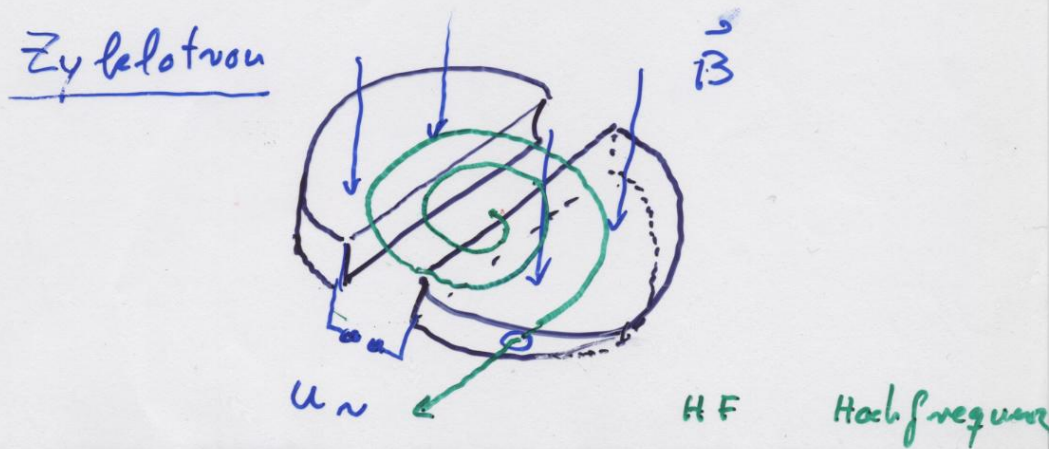
Anwendungen

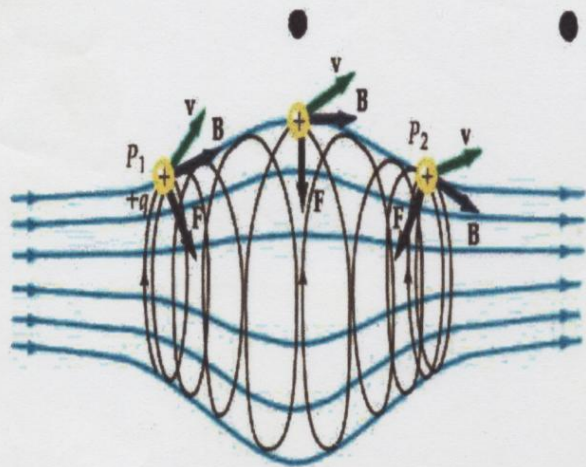
a) Massenspektrometer



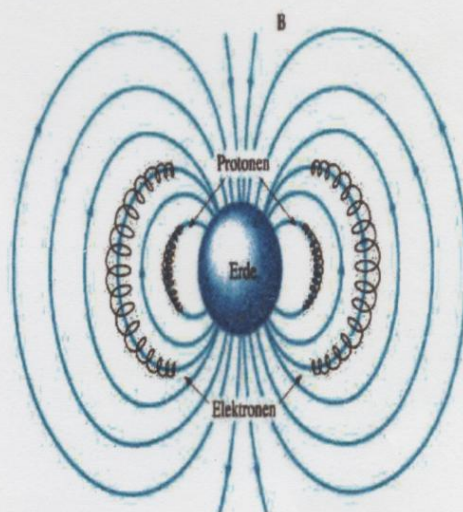
b) Magnetische Flaschen, Fallen

c) Teilchenbeschleuniger

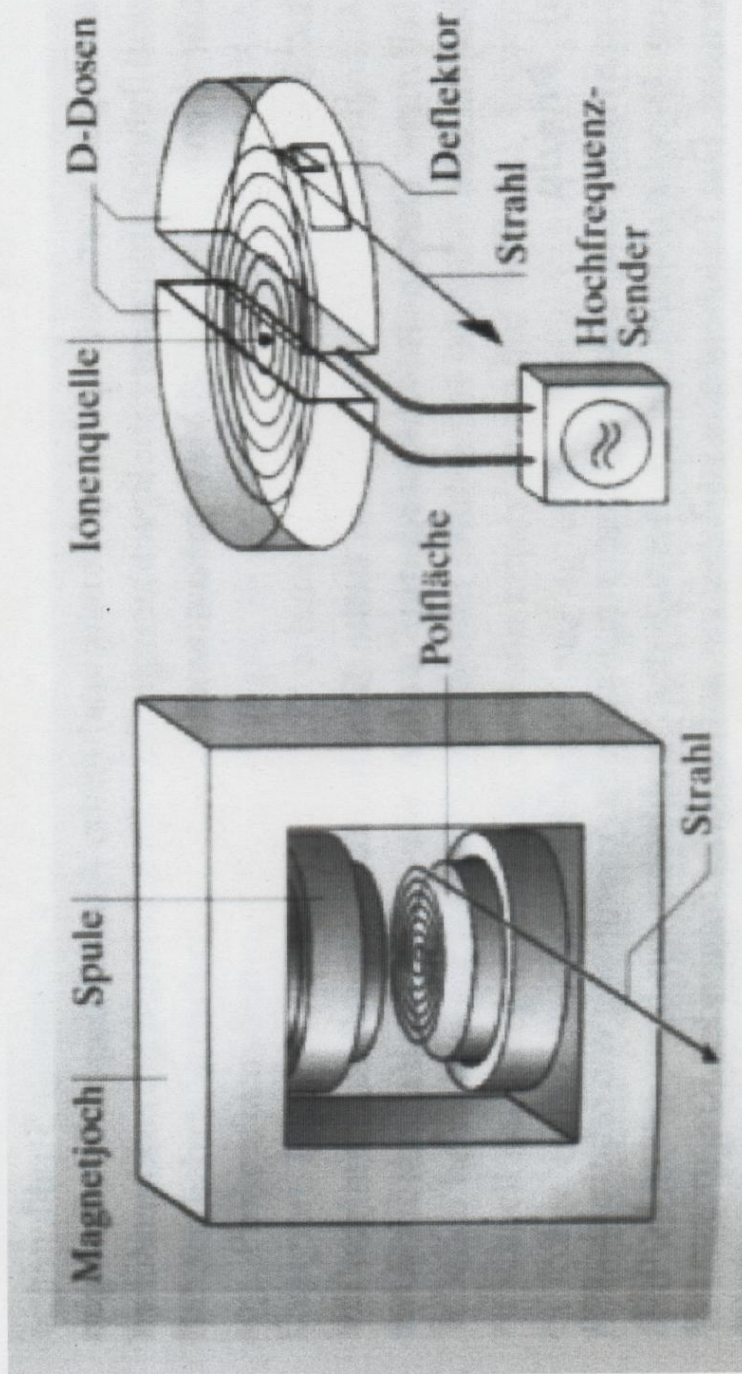




Bewegung in
inhomogenen
Feldern:
magn. Flaschen"
und "Fallen" möglich



Zyklotron

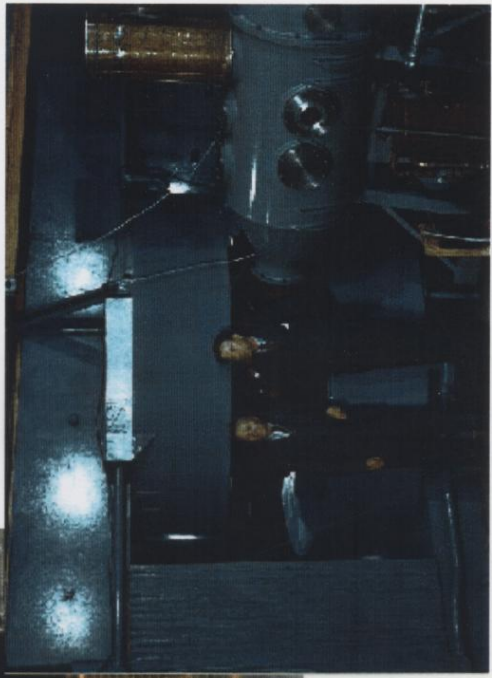


Zyklotron

Forschungszentrum Karlsruhe



Uni Erlangen

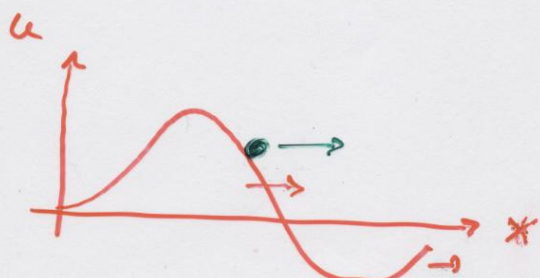
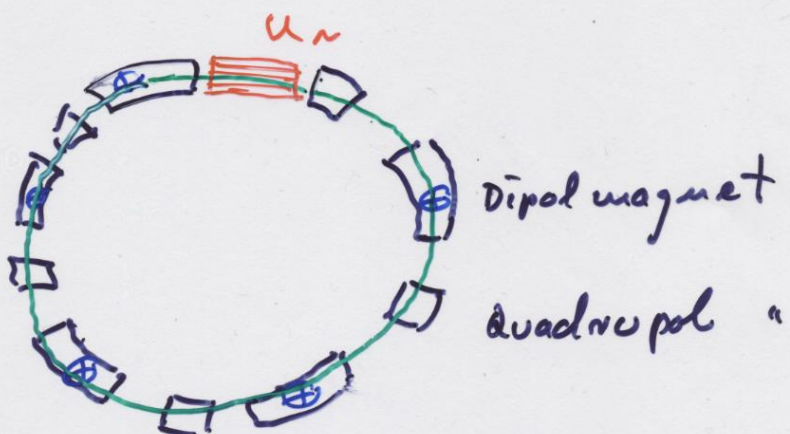


$$\gamma_{HF} = \frac{q}{2\pi m} B = \text{const}$$

Energie begrenzt: typ $\sim 20 \text{ MeV}$

Synchrotron

Kreisbahn im Magnetring



d) Teilchendetektoren

Bei konstantem Magnetfeld wächst der Bahnradius mit der Energie an:

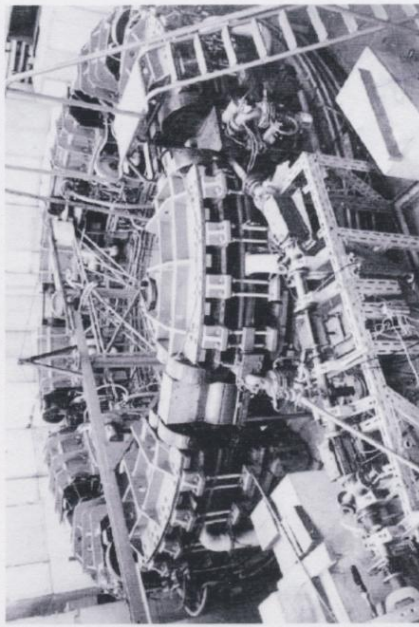
$$R = \frac{E}{e c B} \rightarrow \text{Maschinengröße} \sim R \sim E \quad \rightarrow \quad \frac{E}{B} = \text{const.} \quad \rightarrow \quad \text{Biegeradius konstant}$$

d.h. das Magnetfeld B wird während der Beschleunigung **synchron** mit der Energie E hochgefahren.

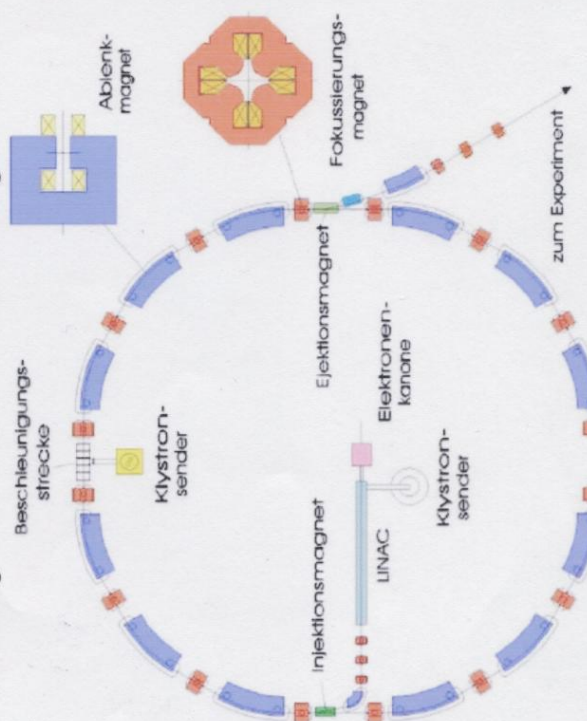
Daher wird ein nach diesem Prinzip arbeitender Kreisbeschleuniger auch „**Synchrotron**“ genannt.

Zur Beschleunigung dienen eine oder mehrere HF-Resonatoren („**Cavities**“). Der Umfang L und die HF-Wellenlänge haben die Beziehung: $L = q \lambda_{\text{HF}}$

mit ganzzahligem q



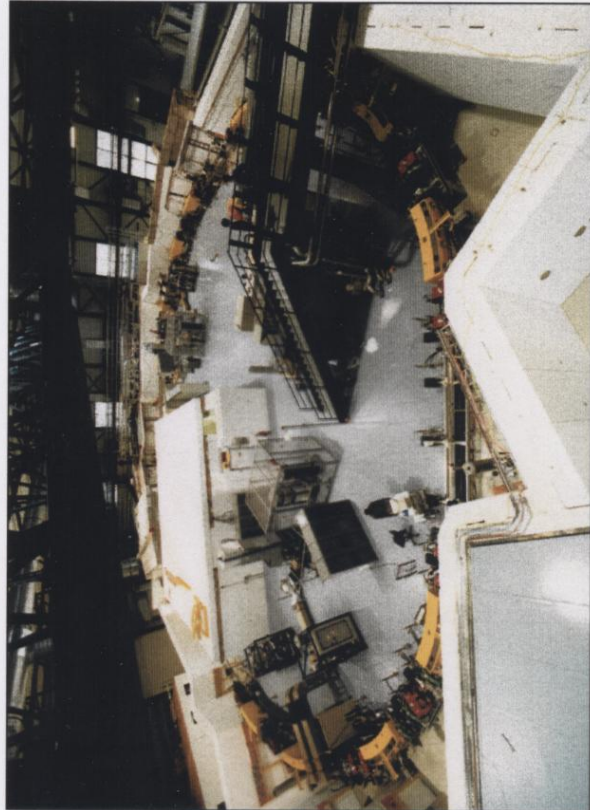
Das 500 MeV Elektronen-Synchrotron der
Uni Bonn (1958 - 1984):



Synchrotron - groß

Forschungszentrum Karlsruhe
in der Helmholtz-Gemeinschaft

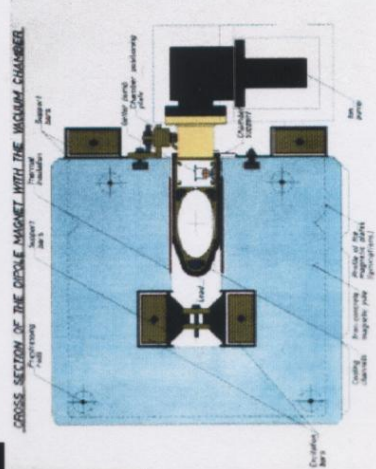
Synchrotron Radiation



non-destructive
materials testing
and analysis
microstructuring
services for internal
and external users

ANKA
synchrotron radiation source

Synchrotron – am größten



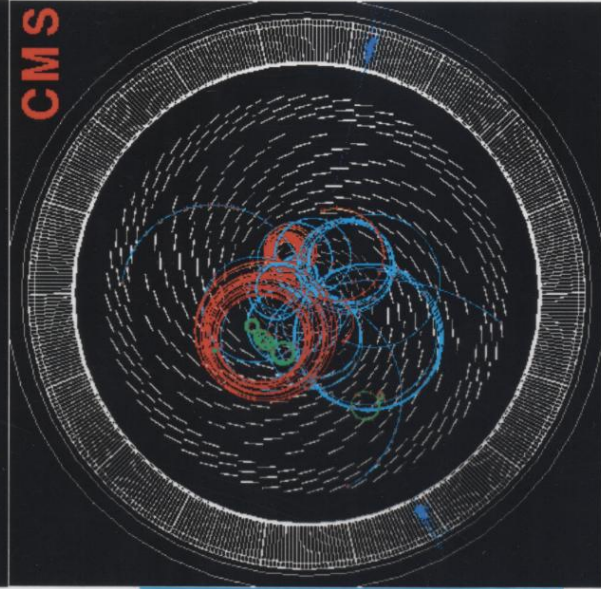
CERN, Genf, Umfang 27 km

Impulsmessung

Impulsunterdrückung

CMS Crystal Calorimeter (PbWO_4)

CMS



$H \rightarrow \gamma\gamma$

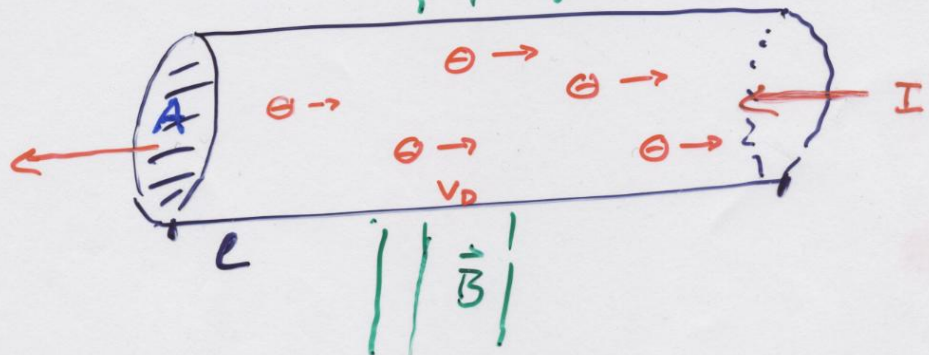
$m_H = 100 \text{ GeV}$

$\sigma_m = 0.5 \text{ GeV}$ at low luminosity



4. 1. 2 Kräfte auf Strome in Magnetfeld

$$\vec{F} = q (\vec{v} \times \vec{B})$$



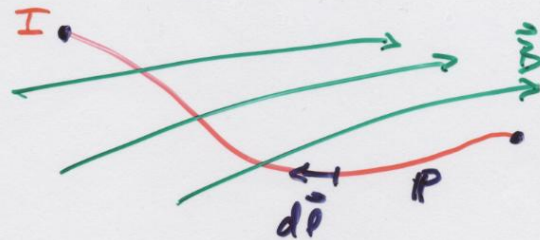
$$\text{Auf jedes } e^- : \vec{F}_c = e \cdot \vec{v}_D \times \vec{B}$$

$$\begin{aligned} I &= \int_A \vec{j} d\vec{A} = s \cdot v_D \cdot A \\ &= \frac{Q}{V} \cdot v_D \cdot A \\ &= \frac{Q \cdot v_D}{e} \end{aligned}$$

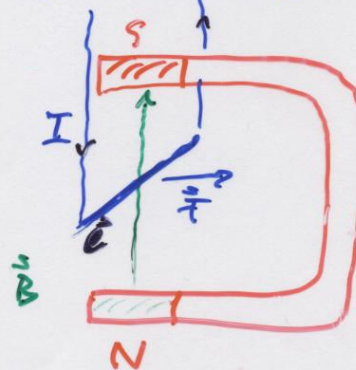
$$\begin{aligned} \vec{F} &= Q \cdot \vec{v}_D \times \vec{B} \\ &= I \cdot \ell \cdot \frac{\vec{v}_D}{(v_D)} \times \vec{B} \\ &= I \cdot \vec{\ell} \times \vec{B} \end{aligned}$$

Allgemein: $d\vec{F} = I \cdot d\vec{l} \times \vec{B}$

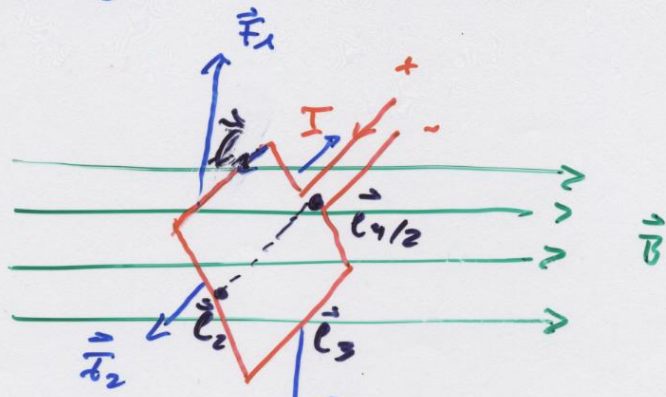
$$\vec{F} = I \int_P d\vec{l} \times \vec{B}$$



Demo: Kraft auf Draht in
Hufeisenmagnet



- Kraft auf Stromschleife:



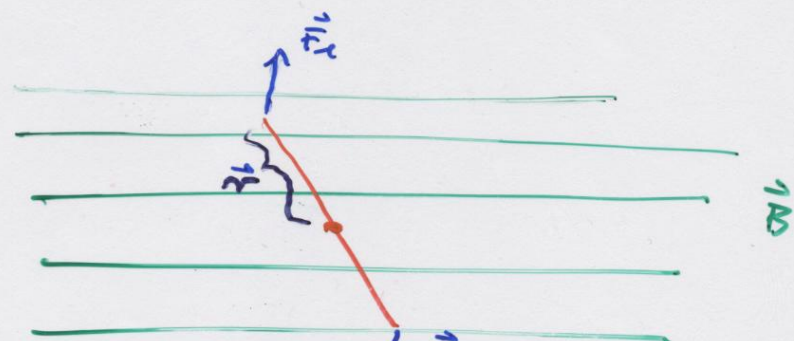
$$\vec{F}_1 = I \cdot \vec{\ell}_1 \times \vec{B}$$

$$\begin{aligned}\vec{F}_3 &= I \cdot \vec{\ell}_3 \times \vec{B} \\ &= -\vec{F}_1\end{aligned}$$

$$(\ell_1 = \ell_2 = \ell_3 = \ell_4)$$

$$\vec{F}_2 = I \vec{\ell}_2 \times \vec{B} = -\vec{F}_4$$

$$\Rightarrow \sum \vec{F}_i = 0$$



$$\text{Drehmoment: } D = 2 \vec{v} \times \vec{F}_1$$

$$D = I \cdot l_1 \cdot l_4 \cdot B \cdot \sin \theta$$

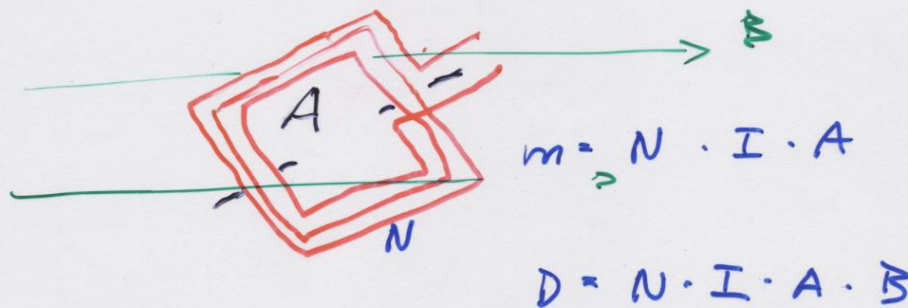
$$= I \cdot A \cdot B \sin \theta$$

$$\vec{D} = I \cdot \vec{A} \times \vec{B}$$

$$= \vec{m} \times \vec{B}$$

\uparrow
Magnetisches Moment $\vec{m} = I \cdot \vec{A}$
 $[m] = A \cdot m^2$

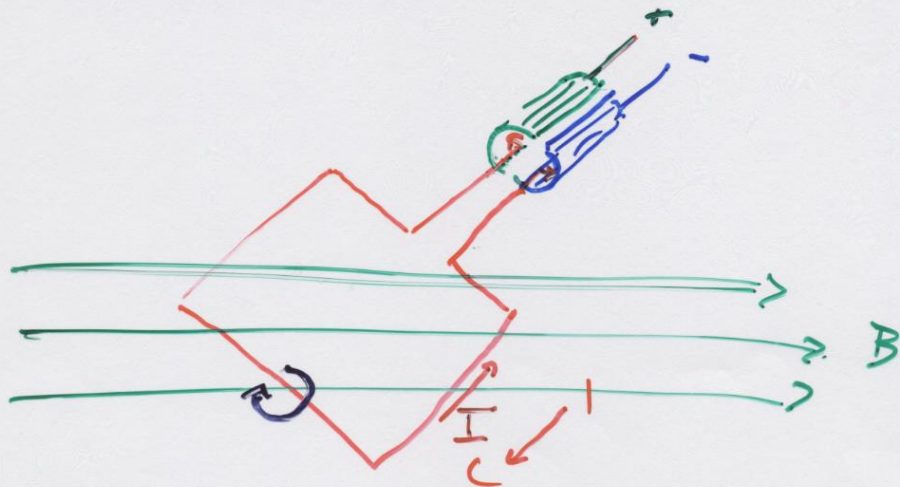
• Spule im B -Feld



Anwendungen:

a) Galvanometer $I \sim D$

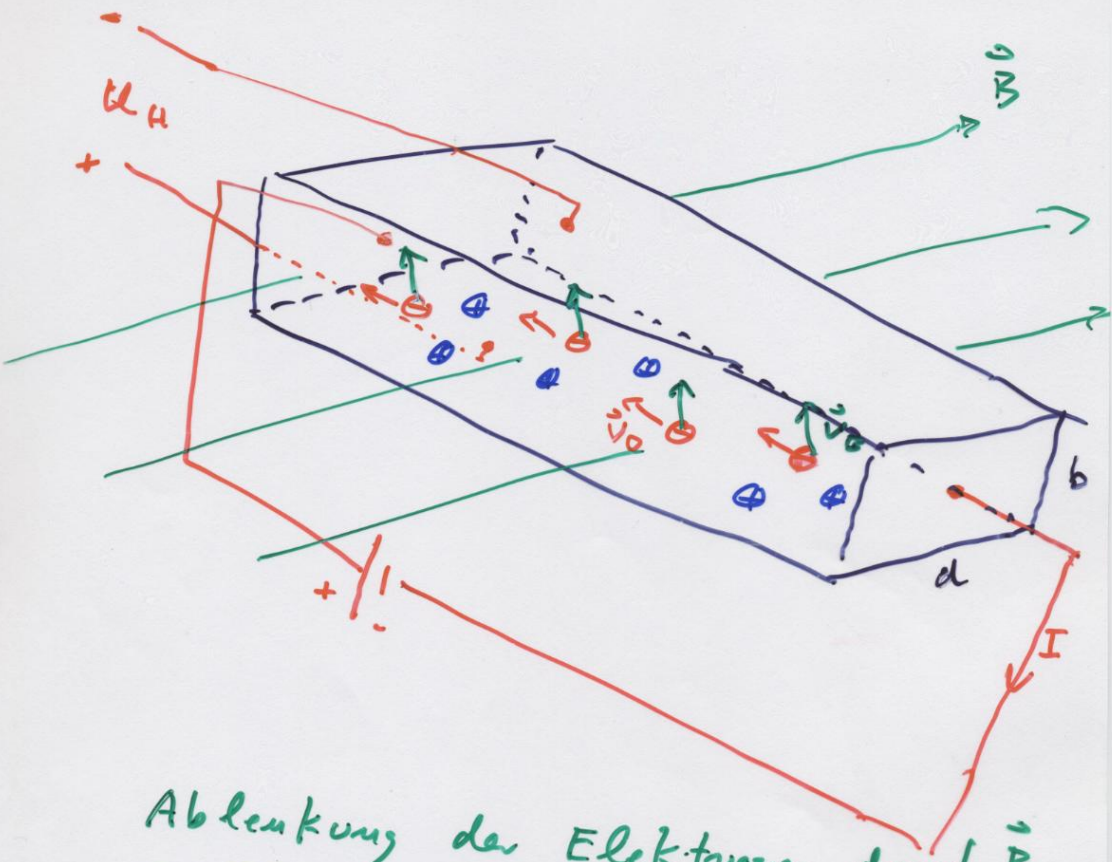
b) Elektromotor



schleifkontakte so angelegt, dass
strom sich umhebt nach 180°
Drehung \rightarrow Drehung in einer
Richtung

4. 1. 3 Hall - Effekt

Trennung von Ladungen im strömendurch-
flossenen Material im B -Feld :



Ablenkung der Elektronen durch \vec{B}
 Positive Ladungen des Festkörpers
 bleiben am Ort.

$$U_H = b \cdot E$$

$$= v_D \cdot B \cdot b \quad \text{Hallspannung}$$

$$\vec{F}_{e^-} = -e \cdot \vec{v}_D + \vec{B}$$

$$\vec{F}_{ion} = +e \cdot \vec{E} \quad \Rightarrow \text{Gleichgewicht}$$

Messungen:

i) Magnetfelder: $B = \frac{U_H}{V_D \cdot b}$

ii) Ladungsträgerdichte:

$$I = \underbrace{m \cdot q}_{\substack{\text{Ladung} \\ \text{Volumen}}} \cdot \underbrace{\frac{V_D \cdot A}{\text{Volumen}}}_{\text{Zeit}}$$

$$m = \frac{I}{A \cdot V_D \cdot e} = \frac{I}{b \cdot d \cdot V_D \cdot e}$$

$$\underline{m = \frac{I \cdot B}{e \cdot d \cdot U_H}}$$

iii) Materialeigenschaften

$$U_H = \frac{I \cdot B}{m \cdot e \cdot d} : \quad U_H = A_H \cdot \frac{I \cdot B}{d}$$

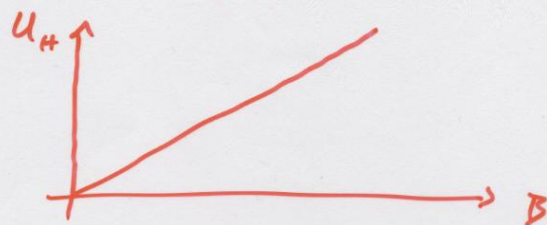
\uparrow
Hallkonstante

$$R_H = \frac{U_H}{I} = A_H \cdot \frac{B}{d}$$

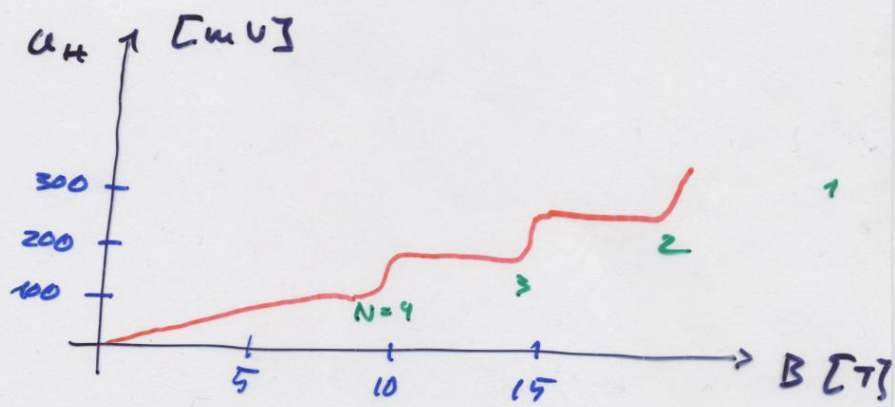
Hall-Widerstand

i.v.) Sonderfall: Quanten-Hall-Effekt

Erwartet $U_H \propto B$



Bei sehr tiefen Temperaturen in Halbleitern



Spannung wächst in Sprüngen

$$R_H = \frac{U_H}{I} = \frac{R_K}{N}, \quad N = 1, 2, \dots$$
$$= \frac{h}{e^2} = \frac{6,6 \cdot 10^{-34} \text{ Js}}{(1,6 \cdot 10^{-19} \text{ C})^2}$$
$$= \underline{\underline{25815 \Omega}}$$

R_H = v. Klitzing - Konstante